

Investigating New Friction Models in Two-Dimensional Manipulation of Gastric Cancer Tissue

Research Article

Moein Taheri¹

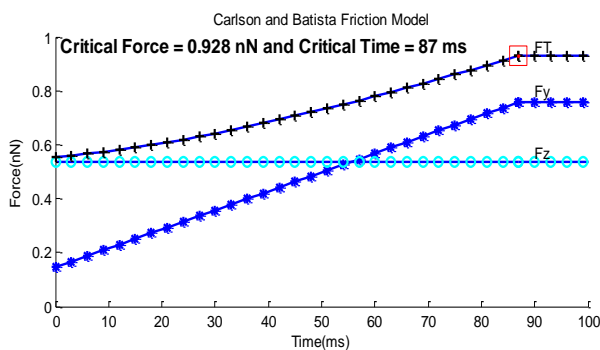
DOI: [10.22067/jacsm.2022.79529.1146](https://doi.org/10.22067/jacsm.2022.79529.1146)

1. Introduction

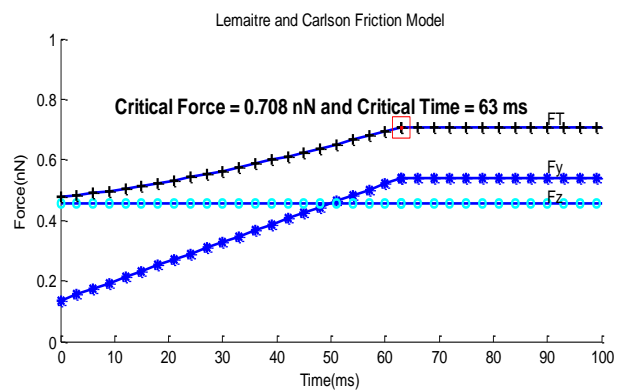
The commercialization and application of nanoscience in the field of medicine and cancer are among the significant goals of researchers of this field. The increasing need for obtaining information about cancer tissues to create a new method for the treatment of this disease cannot be ignored. Taking into account the equations of Carlson-Batista, Lemaître-Carlson, and FKT friction models, and the results obtained from the exploration of gastric cancer tissue by atomic force microscope, this study simulated two-dimensional manipulation of gastric tissue. The critical force and critical time are calculated and the most optimal value is considered. Moreover, the results are compared with the results of other studies.

2. Results

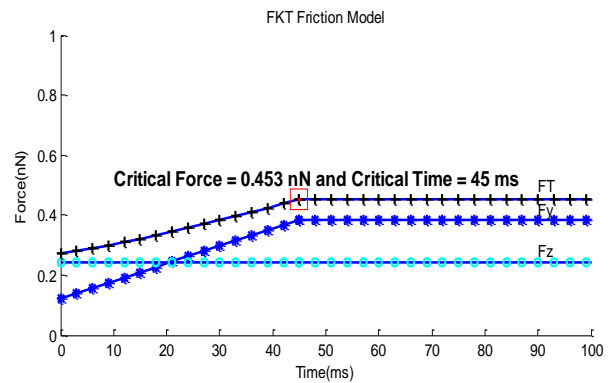
Figure 1 shows that the forces are applied in x and z directions and are shown as F_x and F_z . Due to the constant vertical force of the surface in the z direction, the force in this direction remains constant. By summarizing the two forces, a black graph or resultant force graph was obtained. By fixing all the forces in different directions as well as the resulting force, the critical force and time were recorded in the diagrams considering different friction models.



a) Carlson and Batista Friction model



b) Lemaitre and Carlson Friction model



c) FKT Friction model

Figure 1. Results of the first phase of nanomanipulation with different friction models

3. Verification

The results of this study were compared with the results of other studies like [4] to check the accuracy of the results. In [4] the Coulomb friction model has the biggest amount of force and time due to the simplicity of the modeling. Moreover, the lowest value belongs to the LuGre friction model due to considering the actual contact surface. This

*Manuscript received: November 10, 2022. Revised, November 21, 2022, Accepted, December 17, 2022.

¹. Associate Professor, Department of Mechanical Engineering, Faculty of Engineering, Arak University, Arak, Iran.

Email: m-taheri@araku.ac.ir

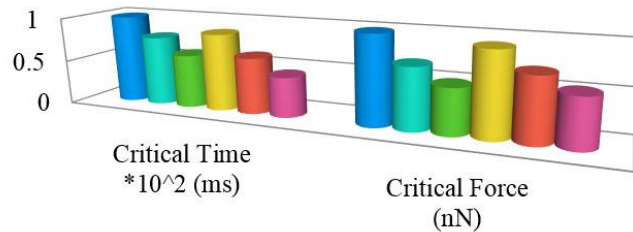
study showed that the FKT contact model is the most favorable friction model due to the development of other models, being more accurate in modeling, and providing the lowest amount of force and critical time to prevent damage to tissues.

Figure 2 shows that the force value in the FKT model is 0.543 nN, which is very close to the force value in the LuGre friction model that is 0.51 nN. Moreover, the amount of critical time was reduced from 0.6 ms in the LuGre model to 0.45 ms in the FKT model.

4. Conclusion

The application of nanomanipulation technology for examining cancer tissues with the aim of identifying and treating this disease will be possible when detailed data on the first and second phases of manipulation and the parameters affecting them are provided. Therefore, the desired cancerous tissue should be explored by atomic force microscope and the required diagrams and images should be prepared. This study investigated the impact of different friction models on the force and critical time of

gastric cancer tissue manipulation. The investigated models include Carlson and Bautista, Lemaitre and Carlson and FKT models. In this way, the geometry of gastric cancer tissue is assumed to be spherical by the topographical image provided by the atomic force microscope. The force-time diagrams are drawn considering the resultant force and force parameters in the x and z direction. The critical force and time are recorded at the moment when all the diagrams are fixed, and the critical force and time are recorded for each of the models. The values 0.453 nN and 45 ms were calculated as the lowest values of force and critical time, respectively, by considering the FKT friction model. Therefore, in order to find the optimal amount of force and critical time, all of the models are examined, and then other environmental and geometrical parameters and forces resisting motion are examined, and an optimal model is presented considering values close to reality. The second phase is also considered and the comprehensive model is used in practical applications.



	Critical Time * 10 ² (ms)	Critical Force (nN)
■ Coulomb [4]	1.02	1.16
■ HK [4]	0.78	0.69
■ LuGre [4]	0.6	0.51
■ Carlson and Batista	0.87	0.928
■ Lemaitre and Carlson	0.63	0.708
■ FKT	0.45	0.543

Figure 2. Validation of force values and critical time obtained with other sources



بررسی مدل‌های اصطکاکی جدید در منیپولیشن دوبعدی بافت سرطانی معده

معین طاهری^(۱)

DOI: 10.22067/jacsm.2022.79529.1146

چکیده اهدافی همچون عدم آسیب رساندن به بافت‌های سالم و سایر ارگان‌ها در هنگام استفاده از دارو و شناسایی هرچه زودتر بافت‌های سرطانی، سبب ورود علم نانو در حوزه‌ی پزشکی شده است. در این راستا، تحقیقاتی با در نظر گرفتن ابزار و روش‌های گوناگون صورت گرفته که مطلوب‌ترین این روش‌ها با توجه به کاربردهای فراوان در هنگام مطالعه‌ی بافت‌های سلولی، در محیط‌های مختلف، روش نانومنیپولیشن مبتنی بر میکروسکوپ نیروی اتمی بوده است. لذا در این مقاله به منظور یافتن مطلوب‌ترین مقدار نیرو و زمان بحرانی در نانومنیپولیشن بافت سرطانی، با هدف کاوش سطح و به دست آوردن اطلاعات مربوط به بافت سرطانی معده با کمترین آسیب، شبیه‌سازی دوبعدی نانومنیپولیشن انجام شده است. فاکتور مهم مورد بررسی در این تحقیق اصطکاک می‌باشد که از جمله عوامل مقاوم در برابر حرکت و دارای اثر مستقیم بر نیرو و زمان بحرانی است. لذا با توسعه‌ی مدل‌های اصطکاکی ساده، با در نظر گرفتن مدل‌های اصطکاکی کارلسون-باتیستا، لمایت-کارلسون و اف‌کاتی، نمودارهای نیرو-زمان ترسیم شده و مقادیر نیرو و زمان بحرانی محاسبه شده است. کمترین مقدار نیرو برابر با 0.453 nN ، کمترین مقدار زمان بحرانی برابر با 45 ms میلی‌ثانیه بوده است، که از شبیه‌سازی با مدل اصطکاکی اف‌کاتی حاصل شده است. همچنین مقایسه‌ی این مقادیر با پژوهش‌های گذشته، نشان‌دهنده‌ی کاهش نیرو و زمان بحرانی نسبت به مدل اصطکاکی لاگره بوده است.

واژه‌های کلیدی بافت سرطانی معده، مدل اصطکاکی، نانومنیپولیشن، نیروی و زمان بحرانی، میکروسکوپ نیروی اتمی.

Investigation of New Friction Models in Two-Dimensional Manipulation of Gastric Cancer Tissue

Moein Taheri

Abstract Goals such as not harming healthy tissues and other organs when using medicine and identifying cancerous tissues as soon as possible have led to the entry of nanoscience into the field of medicine. In this regard, a research was conducted considering various tools and methods, and the most desirable of these methods was the nanomanipulation method based on the atomic force microscope due to its many applications in the study of cell tissues in different environments. Therefore, in this article, in order to find the optimal amount of force and critical time in nanomanipulation of cancer tissue, with the aim of exploring the surface and obtaining information about gastric cancer tissue with the least damage, 2D simulation of nanomanipulation has been carried out. The important factor investigated in this research is friction, which is one of the factors that resist movement and has a direct effect on force and critical time. Therefore, with the development of simple friction models, considering Carlson-Batista, Lemaitre-Carlson and FKT friction models, force-time diagrams have been drawn and critical force and time values have been calculated. The lowest value of the force was equal to 0.453 nN and the lowest value of the critical time was equal to 45 ms , which was obtained from the simulation with the FKT friction model. Also, by comparing these values with past researches, a decrease in force and critical time compared to the LuGre friction model has been seen.

Key Words Gastric cancer tissue, friction model, nanomanipulation, critical force and time, atomic force microscopy.

* تاریخ دریافت مقاله ۱۴۰۱/۸/۱۹ و تاریخ پذیرش آن ۱۴۰۱/۹/۲۶ می‌باشد.

Email: m-taheri@araku.ac.ir

(۱) نویسنده مسئول، دانشیار، گروه مهندسی مکانیک، دانشکده فنی و مهندسی، دانشگاه اراک، اراک، ایران.

مقدمه

تجاری‌سازی و کاربردی شدن علم نانو در حوزه‌ی پزشکی و بیماری سرطان از اهداف قابل توجه محققان در این زمینه می‌باشد. نیاز روزافزون به کسب اطلاعات از بافت‌های سرطانی برای ایجاد روشی نوین در درمان این بیماری، غیرقابل چشم‌پوشی است. لذا در فرآیند منیپولیشن و کارهای صورت گرفته در این حوزه، ابتدا سعی بر آن شده است، که پارامترهای اثرگذار بر ابزار مورد استفاده در تحقیق مورد بررسی قرار گرفته و مطلوب‌ترین ابزار مورد استفاده قرار گیرد. سپس پارامترهای محیطی، هندسی و غیره در دو فاز نانومنیپولیشن شناسایی شده و در طی تحقیقات مختلف، تمامی آن‌ها مورد بررسی قرار گیرد و مطلوب‌ترین نتایج به‌عنوان مدلی جامع برای مطالعه‌ی بافت‌های سرطانی ارائه گردد. کارلسون و باتیستا [1] با مقایسه‌ی نتایج عددی و نتایج حاصل از آزمایش، مدلی برای توصیف اصطکاک بین دو سطح که توسط یک لایه‌ی نازک اتمی از مولکول‌های روان‌کننده جدا شده‌اند، ارائه داده‌اند. این مدل به مدل اصطکاکی کارلسون و باتیستا معروف می‌باشد. لمایتره و کارلسون [2] با مطالعه‌ی یک جامد بی‌شکل در آزمایش تنش-کرنش، و یک روان‌کننده در آزمون تریبولوژی و بررسی پارامترهای مختلف، به ارائه‌ی مدل اصطکاکی لمایتره و کارلسون پرداخته‌اند. لمایتره و کارلسون [3] با تعمیم تئوری ناحیه تبدیل برشی، مدل اصطکاکی اف‌کاتی را برای بررسی مواد متراکم و نامنظم در زمینه‌ی آزمایش‌های لغزش چسبنده در روان‌کاری مرزی ارائه داده‌اند. طاهری [4] به منظور بررسی سرطان معده با استفاده از میکروسکوپ نیروی اتمی، به مدل‌سازی این فرآیند به صورت دوبعدی و با استفاده از مدل‌های اصطکاکی مختلف پرداخته است. مدل‌های کولمب، لاگره و اچ‌کا از جمله موارد مورد بررسی بوده‌اند. در نهایت نیز با بررسی نتایج حاصل نیرو و زمان بحرانی برای سرطان معده محاسبه شده است. شبیه‌سازی‌های صورت گرفته با در نظر گرفتن مدل‌های اصطکاکی مختلف انجام شده است. نمودارهای نیرویی در منیپولیشن دوبعدی ترسیم شده است و از نمودار نیروی برآیند برای مقایسه استفاده شده است. بعد از ثابت شدن مقدار نیرو در مدل‌های اصطکاکی مختلف، مقدار نیرو و زمان بحرانی به دست آمده است. کم‌ترین میزان نیرو و زمان بحرانی بافت سرطانی معده در مدل اصطکاکی لاگره به ترتیب با مقادیر $0/51$ نانونیوتن و 64 میلی‌ثانیه ثبت شده است.

طاهری [5] با استفاده از میکروسکوپ نیروی اتمی به بررسی تجربی بافت سرطانی روده پرداخته است. سپس با استفاده از مدل‌های اصطکاکی لاگره، کولمب و اچ‌کا، روند نانومنیپولیشن سه‌بعدی را شبیه‌سازی کرده است. در نهایت با مقایسه‌ی نتایج حاصل، نیرو و زمان بحرانی با توجه به هر سه مدل اصطکاکی محاسبه شده است. با مقایسه‌ی نمودار برآیند نیروها و با در نظر گرفتن مدل‌های اصطکاکی مختلف، در منیپولیشن سه‌بعدی، بیش‌ترین مقدار نیرو و زمان بحرانی برای مدل اصطکاکی کولمب و کم‌ترین مقدار برای مدل اصطکاکی لاگره ثبت شده است. با توجه به در نظر گرفتن تماس ظاهری در ابعاد نانو، در مدل کولمب و سطح واقعی تماس در مدل اصطکاکی لاگره، این نتایج قابل توجیه می‌باشند.

کورایم و همکارانش [6] به تعیین تجربی زبری سطح بافت سرطانی HT29 با استفاده از میکروسکوپ نیروی اتمی به‌منظور کاربرد در نانومنیپولیشن پرداخته‌اند. در این مقاله زبری سطح سلول سرطانی HT29 با استفاده از تحلیل تصاویر توپوگرافی به دست آمده توسط میکروسکوپ نیروی اتمی تعیین شده است. بر مبنای نتایج آنالیز زبری انجام شده و معادلات تئوری زبری راینووویچ، شعاع متوسط برجستگی‌های سطح نمونه و سطح مبنا تعیین شده است. این مقادیر در روابط مدل دینامیک منیپولیشن ذرات زبر وارد شده و مقادیر نیرو و زمان بحرانی منیپولیشن سلول‌ها شبیه‌سازی شده است. بر مبنای نتایج، مد غلظتی، مد غالب در شروع به حرکت سلول است و تحلیل بر مبنای مدل راینووویچ نسبت به مدل رامپ مقادیر نیرو و زمان بحرانی کمتری را پیش‌بینی می‌کند.

بو و همکارانش [7] با استفاده از میکروسکوپ نیروی اتمی، خواص مکانیکی همچون خزش و تنش را برای بافت‌های سرطانی کبد و معده در رده‌های مختلف محاسبه کرده‌اند. همچنین آن‌ها به بررسی رفتار این بافت‌ها و مطابقت آن‌ها با تئوری ویسکوالاستیک خطی پرداخته‌اند. هو و همکارانش [8] به ارائه‌ی پیشرفت‌های اخیر نانومنیپولیشن در حوزه‌ی پزشکی پرداخته‌اند. این پیشرفت‌ها شامل بررسی خواص مکانیکی، انتقال ساختاری، بررسی برهم‌کنش‌های بین مولکولی اجسام زیستی و سایر موارد بوده است. در نهایت نیز رویکردهای آینده‌ی نانوپزشکی مورد بحث قرار گرفته است.

لو و همکارانش [9] به بررسی برهم‌کنش نوعی دارو با

تئوری های تماسی جی کآر، دی ام تی و جماری و همچنین هندسه های بیضوی و کروی پرداخته اند. عمق فرورفتگی، بیشترین نیروی زبری و بیشترین سطح تماس از جمله پارامترهای مورد تحلیل بوده اند. این آزمایش به صورت تجربی نیز انجام شده و پس از استخراج نمودار نیرو-جابجایی، نتایج تئوری و تجربی با هم مقایسه شده اند.

دی ارلاندو و همکارانش [14] با توجه به اهمیت نانو در صنعت الکترونیک، به بررسی تغییرات رزونانس و گسترش انتقال الکترونیکی بر روی نانولوله های کربنی تک جداره پرداخته اند. در این تحقیق بررسی های لازم به صورت تجربی بر روی دو نانولوله نیمه رسانا و رسانا توسط میکروسکوپ نیروی اتمی انجام شده است. ماکولایسیو و همکارانش [15] با توجه به اهمیت دست یابی به موقعیت دقیق نانوذرات و توانایی کار با آن ها به مقایسه ای ابزارهای مورد استفاده در نانومنیولیشن پرداخته اند. نحوه ی کار، محیط مورد استفاده و سایر موارد، برای ابزارهایی همچون میکروگریپرها و میکروربات ها برای نانومنیولیشن و محرک های پیزوالکتریک برای منیولیشن نانوذرات با نظارت بصری با استفاده از میکروسکوپ نیروی اتمی مورد تحلیل قرار گرفته اند.

ژانگ و همکارانش [16] روشی جدید برای نانومنیولیشن با میکرو لنز را توسعه داده اند، که قادر به تصویربرداری با وضوح فوق العاده در زمان واقعی است. در این روش با استفاده از مکانیزم میکروسکوپ نیروی اتمی، تصویربرداری نوری با حداقل اندازه ی مشخصه ی ۸۰ نانومتر انجام شده است. نانومنیولیشن، تحت هدایت بصری در زمان واقعی برای نانوذرات فلئوئور سنت با قطر ۱۰۰ نانومتر و نانو سیم های نقره با قطر ۸۰ نانومتر به دست آمده است. آن ها در نهایت بیان کرده اند که این روش امکان مشاهده و منیولیشن هم زمان را فراهم کرده است، که می توان از آن، برای نمونه های بیولوژیکی استفاده کرد. خاکسار [17] معادله ی تماس بهینه برای اعمال در نانومنیولیشن و همچنین یافتن مسیر بهینه حرکت با استفاده از روش الگوریتم ژنتیک ترکیبی را مورد بررسی قرار داده است. در نهایت نیز نتایجی با بیشترین مساحت تماس در تئوری تماسی جماری نسبت به دو مدل هرتز و جی کآر ارائه داده است. همچنین مسیر بهینه را برای سطحی پر از نانوذرات نقره مشخص کرده است.

بافت های سرطانی با استفاده از میکروسکوپ نیروی اتمی پرداخته اند. این فرآیند با هدف بررسی اثربخشی دارو و همچنین یافتن راه های جدید برای توسعه ی دارو انجام شده است. طاهری و بطحایی [10] بافت سرطانی معده را با استفاده از میکروسکوپ نیروی اتمی مورد کاوش قرار داده اند. در این پژوهش به استخراج مدول یانگ بافت سرطانی معده با استفاده از میکروسکوپ نیروی اتمی به منظور شناسایی بافت پرداخته شده است. برای این منظور دو مدل تماسی هرتز و جی کآر جهت استخراج مدول یانگ توسعه داده شده اند. در یک آزمایش تجربی پس از جداسازی سلول ها از بافت سرطانی معده با استفاده از تیرک مستطیلی شکل و سوزن های هرمی و کروی میکروسکوپ نیروی اتمی نمونه ها مورد آزمایش قرار گرفته اند و نمودارهای نیرو- عمق نفوذ به دست آمده است؛ سپس با استفاده از روش نصف کردن و نرم افزار متلب به تحلیل داده ها پرداخته شده است. با توجه به نتایج به دست آمده از نمودار نیرو- عمق نفوذ می توان ضریب فنری ظاهری برای سلول مدل سازی کرد، زیرا شیب این نمودار خطی است. حدود مدول یانگ بافت مورد نظر، با توجه به نمودارهای به دست آمده از مقایسه نتایج تجربی مستخرج از میکروسکوپ نیروی اتمی و نتایج تئوری تماسی هرتز و جی کآر 25 ± 325 کیلو پاسکال به دست آمده است.

طاهری و میرزالی [11] مدول یانگ بافت سرطانی سینه را به صورت تجربی و تئوری استخراج کرده اند. آن ها با استفاده از میکروسکوپ نیروی اتمی، به تصویربرداری از بافت سرطانی پرداخته اند. همچنین شبیه سازی هایی با در نظر گرفتن مدل های تماسی مختلف انجام داده و نتایج تجربی و تئوری را با هم مقایسه کرده اند. با توجه به مقایسه ی نتایج تجربی و شبیه سازی انجام شده، مدول یانگ سلول سرطانی سینه ام سی اف-۷ در محدوده ی ۸۰۰ پاسکال به دست آمده است. همچنین مدل تماسی سی اُس تطابق بیشتری با نتایج تجربی داشته است.

ها و همکارانش [12] با توجه به اندازه گیری جداگانه طولی و عرضی خواص مکانیکی در روش های سنتی، به ارائه ی روشی چندبعدی با استفاده از میکروسکوپ نیروی اتمی پرداخته اند. در نهایت نتایج تجربی نشان داده است که ویژگی های مکانیکی طولی اندازه گیری شده با ویژگی های دامنه و فاز عرضی سازگاری داشته و مدل ارائه شده مفید بوده است. کورایم و همکارانش [13] به بررسی فرآیند نانومنیولیشن با در نظر گرفتن

ایجاد شده بین ذره و صفحه‌ی مینا کاهش یافته است. همچنین نمودار تغییرات هر یک از پارامترهای مورد مطالعه عوامل مؤثر به ازای 20 میکرومتر جابه‌جایی و 20 میلی‌ثانیه زمان برای فرآیند منیپولیشن دی‌ان‌ای محاسبه شده است.

فردیونی و همکارانش [21] میزان اثرگذاری پارامترهای مختلف بر نیرو در فاز دوم نانومنیپولیشن دوبعدی را مطالعه نموده‌اند. در این پژوهش به بررسی اثرات هشت پارامتر شامل شعاع ذره، شعاع سوزن، ارتفاع سوزن، طول تیرک، عرض تیرک، طول ذره، ضریب پواسون و مدول الاستیسیته بر نیرو، در فاز دوم منیپولیشن پرداخته شده است. برای این منظور در این مقاله از روش آنالیز حساسیت آماری ای-فست استفاده شده است. نتایج به دست آمده بیانگر این موضوع بوده است که ارتفاع سوزن با 48 درصد، عرض تیرک با 19 درصد، مدول الاستیسیته با 14 درصد و طول تیرک با 8 درصد، بیشترین اثر را بر تغییرات نیرو در فاز دوم منیپولیشن خواهند داشت. در حالی که مطابق نتایج به دست آمده، می‌توان از اثرات ناچیز ناشی از تغییرات شعاع ذره، شعاع سوزن، ضریب پواسون سوزن و طول استوانه‌ای میکرو/نانوذرات هدف چشم‌پوشی نمود.

مشیرپناهی و همکارانش [22] مدل سازی فرآیند سه‌بعدی نانومنیپولیشن نانوذره‌ی استوانه‌ای را بررسی نموده‌اند. در مدل آن‌ها، نیروی اصطکاک به عنوان نیروی توزیع شده در نظر گرفته شده است، که بر طول متغیر تأثیر می‌گذارد. مدل پیشنهادی آن‌ها، علاوه بر ارائه‌ی زمان و نیروی بحرانی، اطلاعات مفیدی در مورد نحوه‌ی حرکت نانوذرات از شروع حرکت تا رسیدن به نقطه‌ی نهایی ارائه داده است.

مدبری‌فر و همکارانش [23] به مطالعه‌ی مشکلات مربوط به کنترل مدل داخلی تطبیقی موتور جریان مستقیم در هر دو حالت معمولی و عصبی پرداخته‌اند. آن‌ها بیان نموده‌اند که مهم‌ترین جنبه‌های طراحی بلوک‌های کنترل مدل داخلی تطبیقی، انتخاب معماری، الگوریتم‌های یادگیری و نمونه‌هایی از یادگیری است.

کورایم و همکارانش [24] فرآیند هل دادن میکرو/نانوذرات استوانه‌ای ناهموار بر روی سطح با سوزن میکروسکوپ نیروی اتمی را مورد بررسی قرار داده‌اند. آن‌ها برای این منظور ابتدا مکانیک تماس شامل چسبندگی را مورد مطالعه قرار داده‌اند. سپس، روشی برای تخمین سطح تماس واقعی بین یک ذره استوانه‌ای ناهموار (که زبری سطح آن توسط مدل‌های رامپ و

طاهری [18] با استفاده از آنالیز حساسیت سوبل به بررسی اثرات پارامترهای ابعادی مختلف از جمله طول تیرک، عرض تیرک، ضخامت تیرک، ارتفاع نوک، سرعت در جهت محورهای x و y ، شعاع ذره، شعاع نوک سوزن و طول ذره بر روی نیرو و زمان بحرانی در دو مد حرکتی لغزشی و غلتشی و در دو راستای x و y پرداخته است. نتایج نشان‌دهنده‌ی اثر قابل‌ملاحظه‌ی ضخامت تیرک و طول آن بر نیروی بحرانی و ارتفاع نوک سوزن و ضخامت تیرک بر زمان بحرانی بوده است.

طاهری و همکارانش [19] به محاسبه‌ی مدول یانگ بافت سرطانی سر و گردن در طی فرآیند نانومنیپولیشن مبتنی بر میکروسکوپ نیروی اتمی پرداخته‌اند. در این پژوهش جهت درمان و تشخیص سرطان سر و گردن، به تخمین مدول یانگ بافت سرطانی سر و گردن با استفاده از فرآیند نانومنیپولیشن پرداخته شده است. تصاویر توپوگرافی و نمودارهای تجربی مورد استفاده از طریق کاوش بافت سرطانی سر و گردن توسط میکروسکوپ نیروی اتمی استخراج شده است. نوآوری اصلی این تحقیق در استفاده از مدل‌های تماسی جی‌کآر، ام‌دی و تاتارا بوده است. هدف اصلی آن‌ها، رسم نمودارهای عمق نفوذ برحسب نیروی اعمالی، جهت تخمین مدول یانگ بافت سر و گردن بوده است. با مقایسه‌ی نتایج تئوری و تجربی، مقدار 12 کیلو پاسکال با در نظر گرفتن مدل تماسی جی‌کآر و مقدار 11 کیلو پاسکال با مدل تماسی تاتارا به‌عنوان مقادیر مدول یانگ بافت سرطانی سر و گردن تخمین زده شده‌اند.

خلیلی و همکارانش [20] منیپولیشن نانوذره‌ی دی‌ان‌ای با استفاده از میکروسکوپ نیروی اتمی را به روش المان محدود با کمک تئوری‌های مکانیک تماس بررسی نموده‌اند. در این مطالعه با استفاده از تئوری‌های مکانیک تماس هرترز، جی‌کی‌آر، دی‌ام‌تی و بی‌سی‌پی و همچنین استفاده از ساختار سلول زیستی دی‌ان‌ای با بهره‌گیری از روش المان محدود به کمک نرم‌افزار آباکوس به مطالعه میزان جابه‌جایی، شتاب، نیرو، تنش و سرعت برحسب زمان و جابه‌جایی مولکول دی‌ان‌ای بر روی یک صفحه‌ی مینا و عوامل مؤثر بر آن‌ها پرداخته شده است. نتایج به دست آمده نشان داده است که در تغییر شکل صورت گرفته بین ذرات هدف و نوک کروی سوزن، مدل هرترز کمترین و مدل جی‌کآر بیشترین تغییر شکل و عمق نفوذ را نشان داده‌اند. با افزایش زاویه‌ی نوک سوزن با محور z ، میزان عمق نفوذ و تغییر شکل

مدل‌سازی نموده‌اند تا در منیپولیشن میکرو/نانوذرات مختلف زیستی بر اساس میکروسکوپ نیروی اتمی استفاده شود. آن‌ها ابتدا تماس الاستیک را برای سه نوع نانو باکتری مختلف با استفاده از مدل تماس هرترز و المان محدود شبیه‌سازی نموده‌اند. مقایسه‌ی نتایج شبیه‌سازی تماس الاستیک با داده‌های تجربی نشان داده است که در نظر گرفتن تماس الاستیک برای شبیه‌سازی تماس نانوذرات زیستی مناسب نیست و نتایج نادرستی به همراه خواهد داشت. بنابراین، در این پژوهش سعی بر آن شده است تا نظریه‌ی تماس الاستیک-پلاستیک چانگ توسعه داده و شبیه‌سازی گردد تا در مکانیک تماس برای کاربرد در شبیه‌سازی منیپولیشن استفاده شود. مقایسه‌ی شبیه‌سازی تئوری تماس چانگ با داده‌های تجربی موجود و نتایج شبیه‌سازی تماس چن و همکاران نشان داده است که نظریه‌ی کامل الاستیک-پلاستیک چانگ نتایج مطلوبی را به همراه داشته است. مقایسه‌ی نمودار شعاع تماس نسبت به عمق فرورفتگی در تئوری‌های هرترز و چانگ نشان داده است که شعاع تماس ایجاد شده در حالت الاستیک - پلاستیک بزرگ‌تر از شعاع تماس در حالت کشسان بوده است.

همان‌طور که در پژوهش‌های پیشین مشاهده می‌شود، اهمیت نانو در حوزه‌ی پزشکی و به‌خصوص حوزه‌ی بافت‌های سرطانی غیر قابل چشم‌پوشی می‌باشد. همچنین می‌توان به اهمیت محاسبه‌ی نیرو و زمان بحرانی برای شروع تحقیقات کاربردی در این حوزه اشاره نمود. لذا با توجه به بررسی پارامترهایی همچون مدل‌های تماسی و مدل‌های اصطکاکی‌های ساده، در این مقاله مدل‌های اصطکاکی دقیق‌تری برای رسیدن به مقادیر مطلوب‌تر برای بافت سرطانی معده استفاده شده است.

در این مقاله با در نظر گرفتن معادلات مدل‌های اصطکاکی کارلسون-باتیستا، لمایتره-کارلسون و افکاتی و همچنین نتایج حاصل از کاوش بافت سرطانی معده توسط میکروسکوپ نیروی اتمی، منیپولیشن دوبعدی بافت معده، شبیه‌سازی شده است. نیرو و زمان بحرانی محاسبه شده و مطلوب‌ترین مقدار در نظر گرفته شده است. همچنین نتایج با سایر نتایج حاصل از پژوهش‌های پیشین مقایسه شده است.

مدل‌سازی

در این بخش به تشریح معادلات حاکم در مدل‌سازی با استفاده

رابینوویچ توصیف شده است) و یک سطح صاف ارائه شده است. سپس یک مدل دینامیکی برای هل دادن ذرات استوانه‌ای ناهموار بر روی یک سطح با یک سوزن میکروسکوپ نیروی اتمی به دست آمده است. پس از آن، فرآیند برای اندازه‌های مختلف ذرات و ابعاد مختلف زبری شبیه‌سازی شده است. در نهایت، با کاهش طول ذره‌ی استوانه‌ای، شرایط شبیه‌سازی به شرایط منیپولیشن یک ذره کروی صاف بر روی یک بستر ناهموار نزدیک‌تر شده و نتایج شبیه‌سازی این دو مورد با هم مقایسه شده‌اند.

کوریام و همکارانش [25] به بررسی منیپولیشن میکرو/نانوذرات دی‌ان‌ای و مخمر در محیط‌های بیولوژیکی با استفاده از میکروسکوپ نیروی اتمی پرداخته‌اند. آن‌ها بیان نموده‌اند که با منیپولیشن میکرو/نانوذرات از مواد و اشکال مختلف، به عنوان ذرات هدف، در محیط‌های مختلف بیولوژیکی، نیروهای برهم‌کنش موجود بین این میکرو/نانوذرات و محیط زیستی با محیط هوا متفاوت خواهد بود. بنابراین آن‌ها در پژوهش خود ابتدا به مرور کلی و شبیه‌سازی نیروهای مهم فعال در محیط زیستی پرداخته و نیروهایی مانند نیروی چسبندگی، نیروی آب‌پوشی و نیروی دو لایه الکترواستاتیک در محیط‌های مختلف را مدل‌سازی و شبیه‌سازی نموده‌اند. پس از کاوش و مدل‌سازی محیط‌های بیولوژیکی مختلف (در مقایسه با محیط هوا)، عملیات منیپولیشن با میکروسکوپ نیروی اتمی برای میکرو/نانوذرات مختلف مانند طلا، دی‌ان‌ای و مخمر با در نظر گرفتن نیروهای موجود در محیط‌های مختلف بیولوژیکی شبیه‌سازی شده است. نتایج منیپولیشن در این مقاله نشان داده است که در محیط هوا و مایع، ذرات بیولوژیکی (دی‌ان‌ای و مخمر) پس از مدت‌زمان طولانی‌تر و با نیروی بزرگ‌تری نسبت به ذرات طلا شروع به حرکت خواهند کرد. این نتیجه با توجه به خواص و چسبندگی ذرات بیولوژیکی قابل پیش‌بینی بوده است. همچنین با مقایسه‌ی نتایج به دست آمده، مشخص شده است که نیروی بحرانی و زمان بحرانی منیپولیشن با میکروسکوپ نیروی اتمی برای میکرو/نانوذرات طلا در آب نسبت به هوا کمی افزایش یافته که می‌تواند به دلیل خواص آب و نیروهای موجود در آب بوده باشد.

کوریام و همکارانش [26] نظریه‌های تماس الاستیک-پلاستیک را برای نانوباکتری‌های کروی نرم شبیه‌سازی و

ثابت و متغیر حالت، θ نیز در این مدل حالت روغن کاری در سطح تداخلی تماس می‌باشد. زمانی که $\theta = 1$ است، روغن کاری در حالت کاملاً جامد یا همان فاز غلتش و هنگامی که $\theta = 0$ است، روغن کاری در حالت کاملاً سیال یا همان فاز لغزش قرار دارد. این مدل تغییرات تابع تعریف شده f_1 را به کار می‌برد، تا به عاملیت لغزش- غلطش برسد. در این مدل عامل اتلافی اصطکاک، به روش مشابهی با مدل اصطکاکی کولمب، با افزودن متغیر حالت θ به دست آمده است [1].

مدل لمایتره و کارلسون

این مدل نیز همانند مدل کارلسون و باتیستا یک مدل کششی/ فشاری اصطکاک نانو می‌باشد، که در آن داریم [2]:

$$\ddot{x} = -E_1 e^{-k/x} + \alpha \sigma \dot{\gamma} \quad (4)$$

$$\dot{\sigma} = \mu (\dot{\epsilon} - \dot{\gamma}) \quad (5)$$

$$\dot{\epsilon} = V/2h \quad (6)$$

$$\dot{\gamma} = E_0 e^{-1/x} \sinh\left(\frac{\sigma}{\mu}\right) \quad (7)$$

که $\dot{\sigma}$ نرخ تنش، $\dot{\gamma}$ نرخ چرخش، $\dot{\epsilon}$ نرخ کرنش می‌باشند [2,3].

مدل اف کاتی

از اولین مدل‌های اصطکاکی به کار رفته در سطح اتمی می‌باشد. در مدل اصطکاکی پرائتل- تاملینسون بیان می‌شود، که انرژی به دلیل آزاد شدن بازگشت‌ناپذیر و ناگهانی انرژی الاستیک تلف شده، که موقتاً در تغییر شکل، کشش و یا تراکم پیوندهای اتمی ذخیره شده است.

به بیان دیگر، زمانی که دو جسم نسبت به یکدیگر حرکت می‌کنند، سبب ایجاد یک تغییر پیوسته در جفت مولکول‌هایی که نیرو را تحمل می‌کنند، شده است. همچنین بیان می‌کند، که با تماس دو مولکول با هم، شاخه‌های دافعه سمت یکدیگر آمده و سپس جدا می‌شوند، در این صورت، یک اتلاف انرژی رخ می‌دهد که با عنوان اصطکاک شناخته می‌شود. با گسترش مدل پرائتل- تاملینسون، مدل FKT ارائه شده است [3].

اتم‌های A و B در موقعیت تعادلی در شکل (۱-۲) نمایش داده شده‌اند. در این حالت اتم C به اندازه‌ی کافی دور بوده و تأثیر آن بر اتم B قابل چشم‌پوشی است. زمانی که B در حالت

از مدل‌های اصطکاکی مختلف پرداخته شده است. مشخصات هندسی میکروسکوپ نیروی اتمی نیز در جدول (۱) ذکر گردیده است.

جدول ۱ مشخصات هندسی میکروسکوپ نیروی اتمی

نوع تیرک	مسطحی
طول تیرک	۲۲۵ میکرومتر
عرض تیرک	۱ میکرومتر
ضخامت تیرک	۴۸ میکرومتر
ارتفاع سوزن	۱۲ میکرومتر
شعاع سوزن	۲۰ نانومتر

مدل‌سازی با استفاده از مدل‌های اصطکاکی مختلف

مدل کارلسون و باتیستا

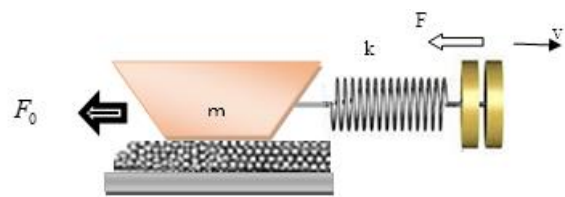
مدل کارلسون و باتیستا مدل کششی/ فشاری اصطکاک نانو می‌باشد، که پارامترهای آن به صورت معادلات (۱) تا (۳) تعریف شده‌اند.

$$\ddot{x} + x = Vt - f_1 \quad (1)$$

$$f_1 = \begin{cases} (-\infty, \theta) & \text{for } \dot{x} = 0 \\ \theta + \beta \dot{x} & \text{for } \dot{x} > 0 \end{cases} \quad (2)$$

$$\dot{\theta} = \frac{\theta(1-\theta)}{\tau} - \alpha \theta \dot{x} \quad (3)$$

در شکل (۱)، شبیه‌سازی مکانیکی تجهیزات آزمایشگاهی SFA با بلوک جرم m که با یک فنر الاستیک با ثابت k که از یک طرف با سرعت v کشیده می‌شود، نشان داده شده است.



شکل ۱ شبیه‌سازی مکانیکی تجهیزات آزمایشگاهی SFA با بلوک جرم m که با یک فنر الاستیک با ثابت k که از یک طرف با سرعت v کشیده می‌شود. بلوک با یک سطح روغن کاری شده در تماس است

در معادله‌ی (۱) پارامترهای موقعیت و شتاب شیء تحت فشار/کشش، به ترتیب با x و \ddot{x} ، سرعت مطلوب فشاری/کششی با V و زمان با t ، مشخص شده‌اند. تابع f_1 نیز به صورت معادله‌ی (۲) تعریف شده است. α ، β و τ پارامترهای

$$m\ddot{x}_i + \gamma'\dot{x}_i = -\frac{\partial U(x_i)}{\partial x_i} - \frac{\partial W(x_i - x_j)}{\partial x_i} + f' + \eta(t),$$

$$i = 1, 2, \dots, N \quad (8)$$

که x_i جابه جایی ذره i ام، m جرم هر ذره، γ' ضریب اصطکاک است، که انرژی تغییر کرده بین یک ذره و صفحه میبنا را مشخص می سازد، f' نیروی خارجی به کار رفته، $\eta(t)$ نویز اجباری حرارتی، $U(x_i)$ پتانسیل به کار رفته برای صفحه میبنا، و $W(x_i - x_j)$ پتانسیل برهم کنش ذرات است. این پتانسیلها از اصول مختلف فیزیکی از قبیل پتانسیل وان دروالس ناشی می شوند. فرض می گردد که پتانسیل صفحه میبنا متناوب فاصله ای بوده و به شکل معادله ای (۹) است:

$$U(x_i) = \frac{1}{2}\phi \sum_{i=1}^N \left(1 - \cos \frac{2\pi x_i}{a}\right) \quad (9)$$

که $\phi > 0$ ثابت انرژی و $a > 0$ دوره ی تناوب است. پتانسیل برهم کنش ذرات نیز به شکل معادله ای (۱۰) فرض می شود.

$$W(x_i - x_j) = \frac{1}{2}K \sum_{i=1}^{N-1} (x_{i+1} - x_i - b)^2 \quad (10)$$

که در آن $K > 0$ یک ثابت و b نشان دهنده ی فاصله ی تعادلی بین اتمی است.

مراحل آماده سازی بافت

بافت مورد بررسی در این پژوهش، بافت سرطانی معده با اندازه ی (T3) در نظر گرفته شده است. پس از تهیه ی بافت مورد نظر، تعیین نوع و عامل سرطانی درکشت انجام شده و پس از تعیین نوع سرطان، قسمتی از بافت جدا شده و بر روی لام قرار گرفته است. برای شروع آزمایش ابتدا ظرف حاوی بافت را بر روی صفحه ی میکروسکوپ نیروی اتمی قرار داده و سپس با استفاده از صفحه ی نمایش آن، بررسی دقیق صورت گرفته است تا بافت های مناسب آزمایش انتخاب شود و معیار گزینش آنها شکل ظاهری شان بوده است.

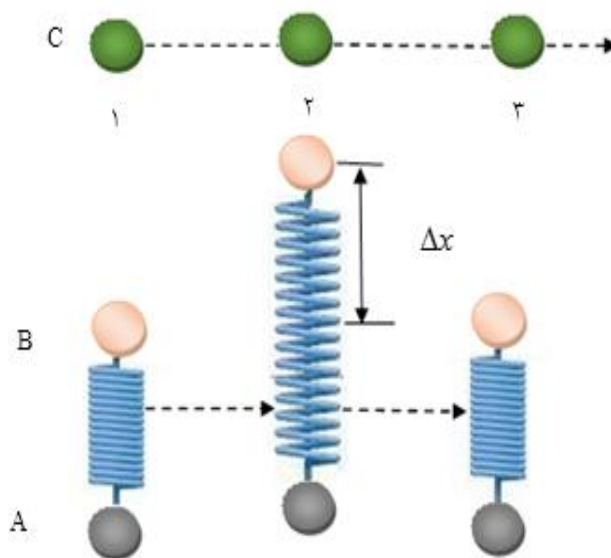
بحث و نتایج

در این بخش، به تشریح کامل نتایج حاصل از مدل سازی و کارهای تجربی انجام شده، پرداخته شده است.

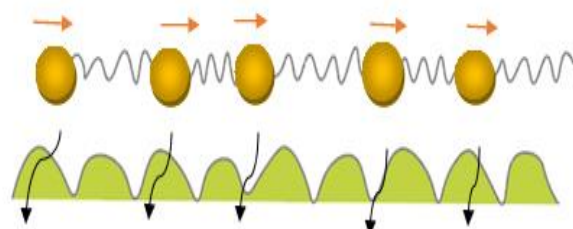
جاذبه با C است و B پیوند خود را با A می کشد، اتمها در وضعیت شکل (۲-۲) قرار دارند.

در انتها و در شکل (۲-۳) به اندازه ی کافی دور شده است و B به حالت آرام برمی گردد. انرژی تلف شده در این شکل به آسانی با رابطه ی $\frac{1}{2}k(\Delta x)^2$ به دست می آید که همان انرژی الاستیک ذخیره شده است، هنگامی که پیوند شیمیایی بین A و B کشیده می شود.

با ترکیب مدل تاملینسون و مدل هارمونیک زنجیره ی اتمی توسط ویس و المر، مدل اصطکاک اتمی اف کاتی تعریف شده است. در مدل اف کاتی فرض می شود، که هیچ پیوند شیمیایی بین برجستگی ها و اتم های سطح وجود ندارد (شکل ۳).



شکل ۲ نظریه ی تاملینسون درباره ی اتلاف انرژی



شکل ۳ مدل اف کاتی

زنجیره با یک نیروی ثابت کشیده می شود، و حرکتها با سرعت متناسب با میرایی، میرا می گردد. در این مدل:

نتایج فاز اول نانومنیپولیشن

در فاز نخست نانومنیپولیشن با استفاده از میکروسکوپ نیروی اتمی، محاسبه نیرو و زمان بحرانی از اهمیت بالایی برخوردار می‌باشد. لذا در این فاز به بافت سرطانی مورد نظر تا جایی نیرو وارد می‌شود که بر نیروهای مقاومی همچون اصطکاک و چسبندگی غلبه پیدا کند.

با غلبه بر این نیروها، نیروی اعمالی در این لحظه، به عنوان نیروی بحرانی و مدت زمان طی شده را به عنوان زمان بحرانی شناخته می‌شود.

همان‌طور که در شکل (۵) مشخص می‌باشد، نیروهای اعمالی در دو راستای x و z اعمال شده است و به صورت F_x و F_z نمایش داده شده‌اند. به دلیل ثابت بودن نیروی عمودی سطح در راستای z نیرو در این راستا ثابت باقی مانده است.

با برآیندگیری از این دو نیرو، نمودار مشکی رنگ یا همان نمودار نیروی برآیند حاصل شده است. با ثابت شدن تمامی نیروها در راستاهای مختلف و همچنین نیروی برآیند، نیرو و زمان بحرانی در نمودارها با در نظر گرفتن مدل‌های اصطکاکی مختلف ثبت شده‌اند.

در شکل (۵-الف)، نیروی بحرانی برابر با $۰,۹۲۸$ نانو نیوتن و زمان بحرانی برابر با ۸۷ میلی ثانیه با توجه به مدل اصطکاکی کارلسون و باتیستا محاسبه شده است.

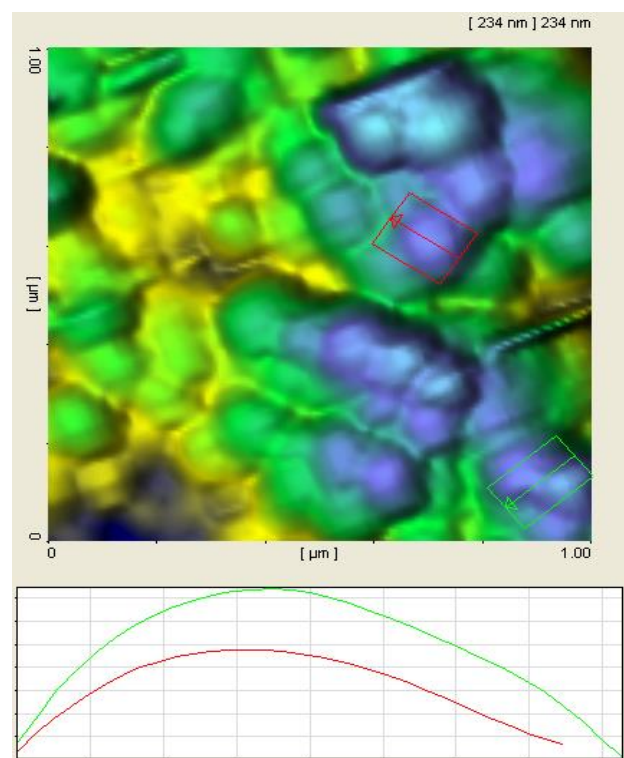
با در نظر گرفتن مدل اصطکاکی لمایتره و کارلسون در شکل (۵-ب)، نیرو به $۰,۷۰۸$ نانونیوتن و زمان به ۶۳ میلی ثانیه کاهش یافته است.

در نهایت نیز با در نظر گرفتن مدل اف کاتی، کمترین مقدار نیرو با اندازه‌ی $۰,۴۵۳$ نانونیوتن و زمان ۴۵ میلی ثانیه در شکل (۵-ج)، مشخص شده است.

مدل اصطکاکی اف کاتی نیز توسعه یافته‌ی مدل‌های دیگر بوده است، لذا مقادیر دقیق‌تری را نمایش داده است. همچنین به علت عدم آسیب رساندن به بافت سرطانی، در نظر گرفتن نیرو و زمان بحرانی با مقادیر کمتر، مطلوب‌تر می‌باشد.

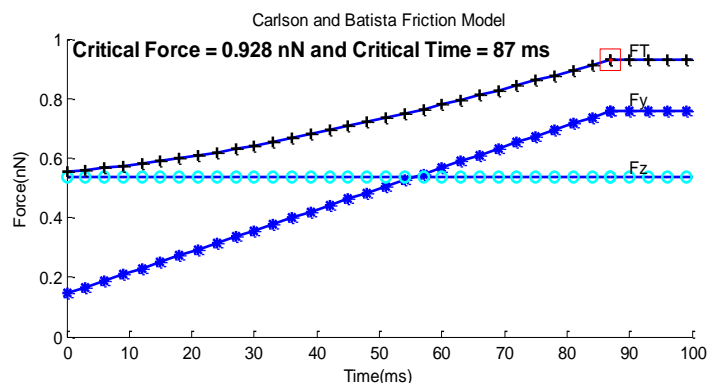
نتایج حاصل از تصویربرداری با میکروسکوپ نیروی اتمی

بافت سرطانی معده پس از آماده سازی‌های لازم در آزمایشگاه، بر روی لام قرار گرفته و سپس مورد کاوش توسط میکروسکوپ نیروی اتمی قرار گرفته است. همان‌طور که در شکل (۴)، مشاهده می‌شود، تصویر توپوگرافی حاصل با رنگ‌های متفاوت ترسیم شده است، که نمایانگر ارتفاع‌های مختلف در هنگام کاوش توسط سوزن تیرک میکروسکوپ نیروی اتمی می‌باشد.

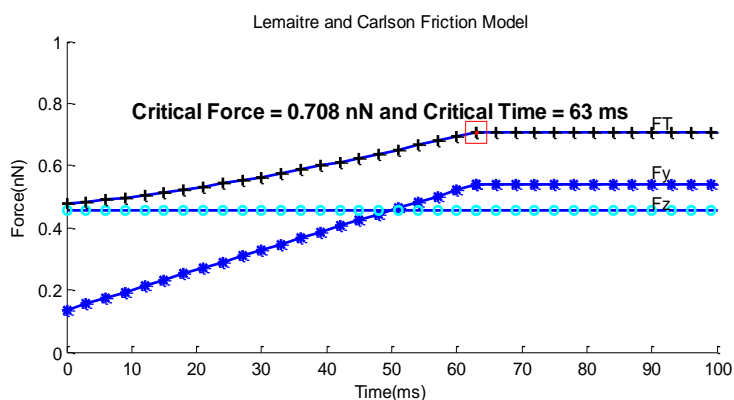


شکل ۴ تصاویر بافت سرطانی روده

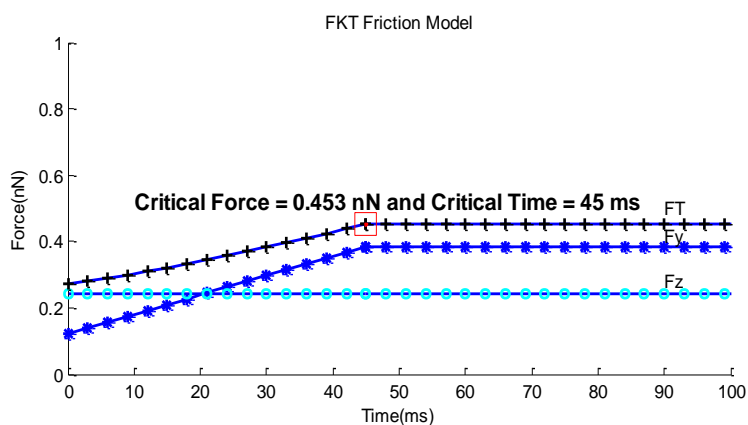
مکان بافت سرطانی با رنگ آبی مشخص شده است. لذا به منظور تعیین هندسه‌ی بافت سرطانی معده، خطوطی بر روی این بافت‌ها و در جهت‌های مختلف ترسیم شده است. تغییرات ارتفاع در طول این خطوط به صورت نمودارهای سبز و قرمز ترسیم شده و با دوران این نمودارها، هندسه‌ی بافت سرطانی به صورت تقریبی به شکل هندسی کره در نظر گرفته شده است.



(الف) مدل اصطکاکی کارلسون و باتیستا



(ب) مدل اصطکاکی لمایتره و کارلسون



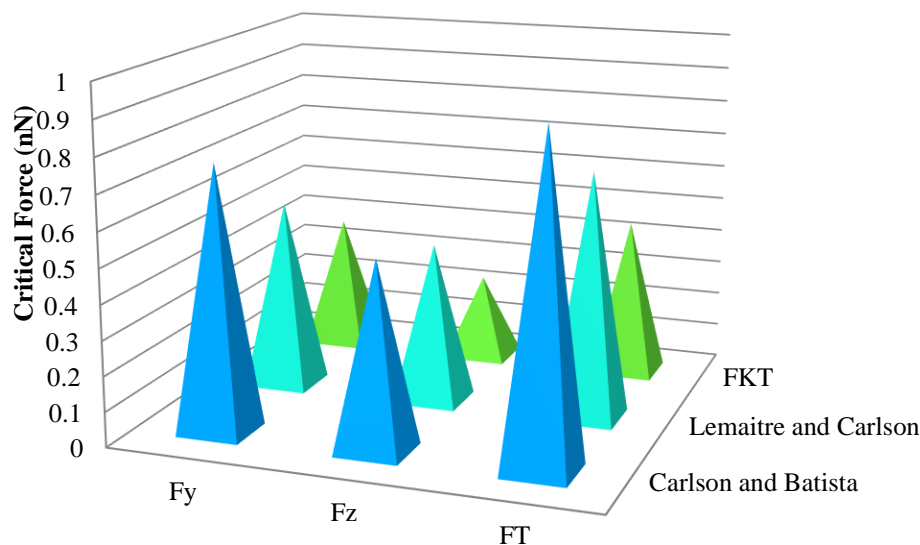
(ج) مدل اصطکاکی FKT

شکل ۵ نتایج فاز اول نانومنیپولیشن با مدل‌های اصطکاکی مختلف

مقایسه‌ی مدل‌های اصطکاکی

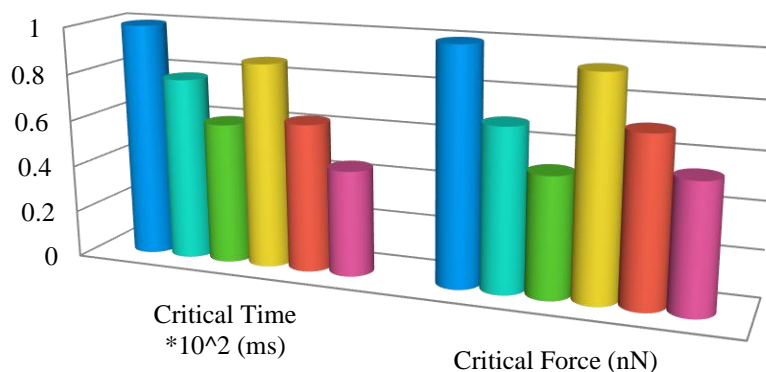
راستاهای مختلف و همچنین در نیروی برآیند مربوط به مدل اصطکاکی کارلسون و باتیستا می‌باشد. لذا غلبه بر این نیروها، زمان و نیروی بیشتری را نیازمند است و نیرو و زمان بحرانی در طی فرآیند منیپولیشن بافت سرطانی معده برای این مدل اصطکاکی بیشتر خواهد بود.

در شکل (۶)، مقادیر نیرو در راستاهای x و z و همچنین نیروی برآیند، با در نظر گرفتن مدل‌های اصطکاکی کارلسون و باتیستا، لمایتره و کارلسون و افکاتی، محاسبه و نمایش داده شده است. همان‌طور که مشاهده می‌شود، بیشترین مقدار نیرو در



	Fy	Fz	FT
■ Carlson and Batista	0.758	0.534	0.928
■ Lemaitre and Carlson	0.541	0.458	0.708
■ FKT	0.383	0.243	0.453

شکل ۶ مقایسه‌ی نیروی بحرانی در مدل‌های مختلف



	Critical Time * 10 ² (ms)	Critical Force (nN)
■ Coulomb [4]	1.02	1.16
■ HK [4]	0.78	0.69
■ LuGre [4]	0.6	0.51
■ Carlson and Batista	0.87	0.928
■ Lemaitre and Carlson	0.63	0.708
■ FKT	0.45	0.543

شکل ۷ صحت‌سنجی مقادیر نیرو و زمان بحرانی حاصل با سایر منابع

صحت‌سنجی

و زمان بحرانی برای بافت سرطانی محاسبه شده است. لذا به‌منظور صحت‌سنجی نتایج حاصل در این مقاله، از مقایسه‌ی نتایج با این مرجع استفاده شده است.

در مرجع [4] بافت سرطانی معده با در نظر گرفتن سه مدل اصطکاکی کولمب، اچ‌کا و لاگره مورد بررسی قرار گرفته و نیرو

هریک از مدل‌ها نیرو و زمان بحرانی ثبت شده است. مقادیر 0.453 نانونیوتن و 45 میلی ثانیه به عنوان کمترین مقادیر نیرو و زمان بحرانی با در نظر گرفتن مدل اصطکاکی افکاتی محاسبه شده است، که در مقایسه با مقادیر نیرو و زمان بحرانی ثبت شده در مرجع [4] و با در نظر گرفتن مدل اصطکاکی لاگره نیز کاهش یافته است. لذا به منظور یافتن بهینه‌ترین مقدار نیرو و زمان بحرانی باید تمامی مدل‌ها مورد بررسی قرار گرفته و پس از آن سایر پارامترهای محیطی و هندسی و نیروهای مقاوم بر حرکت بررسی شده و مدلی مطلوب با در نظر گرفتن مقادیری نزدیک به واقعیت ارائه شده و سپس فاز دوم نیز مورد بررسی قرار گرفته و در نهایت مدل جامع در کاربردهای عملی مورد استفاده قرار گیرد.

واژه نامه

Atomic Force Microscope	میکروسکوپ نیروی اتمی
Carlson and Batista Friction Model	مدل اصطکاکی کارلسون و باتیستا
Critical Force	نیروی بحرانی
Critical Time	زمان بحرانی
FKT Friction model	مدل اصطکاکی افکاتی
Friction Models	مدل‌های اصطکاکی
Gastric Cancer Tissue	بافت سرطانی معده
Lemaitre and Carlson Friction Model	مدل اصطکاکی لمایتره و کارلسون
Manipulation	جابه‌جایی

تقدیر و تشکر

در مرجع [4] مدل اصطکاکی کولمب بیشترین مقدار نیرو و زمان را به علت ساده بودن مدل‌سازی دارا می‌باشد. همچنین کمترین مقدار متعلق به مدل اصطکاکی لاگره به علت در نظر گرفتن سطح واقعی تماس می‌باشد.

در این مقاله مدل تماسی افکاتی، به علت توسعه‌ی سایر مدل‌ها و دقیق‌تر بودن در مدل‌سازی و همچنین ارائه‌ی کمترین مقدار نیرو و زمان بحرانی برای جلوگیری از آسیب به بافت سرطانی به عنوان مطلوب‌ترین مدل اصطکاکی شناخته شده است. همان‌طور که در شکل (۷) مشاهده می‌شود، مقدار نیرو در مدل افکاتی برابر با 0.543 نانونیوتن می‌باشد، که بسیار به مقدار نیرو در مدل اصطکاکی لاگره با مقدار 0.51 نانونیوتن نزدیک است. همچنین میزان زمان بحرانی نیز از مقدار 0.6 میلی ثانیه در مدل لاگره به مقدار 0.45 میلی ثانیه در مدل افکاتی، کاهش یافته است.

نتیجه‌گیری

کاربردی شدن فناوری نانومنیپولیشن در مطالعه‌ی بافت‌های سرطانی و با هدف شناسایی و درمان این بیماری زمانی امکان‌پذیر خواهد شد، که اطلاعات دقیقی از فازهای اول و دوم منیپولیشن و پارامترهای تأثیرگذار بر آن‌ها ارائه گردد. لذا باید بافت سرطانی مورد نظر توسط میکروسکوپ نیروی اتمی کاوش شده و نمودارها و تصاویر مورد نیاز تهیه شوند.

در این مقاله اثر مدل‌های اصطکاکی مختلف بر روی نیرو و زمان بحرانی منیپولیشن بافت سرطانی معده مورد بررسی قرار گرفته است. مدل‌های مورد بررسی شامل مدل کارلسون و باتیستا، لمایتره و کارلسون و افکاتی می‌باشند. در این مسیر هندسه‌ی بافت سرطانی معده توسط تصویر توپوگرافی ارائه شده‌ی میکروسکوپ نیروی اتمی به صورت کروی فرض شده است. نمودارهای نیرو-زمان با در نظر گرفتن پارامترهای نیروی برآیند و نیرو در راستای x و z ترسیم شده‌اند. نیرو و زمان بحرانی در لحظه‌ای که هر سه این نمودارها ثابت می‌گردند، ثبت شده و برای

مراجع

- [1] J. Carlson and A. Batista, "Constitutive relation for the friction between lubricated surfaces", *Physical Review E*, vol. 53, no. 4, pp. 4153-4165, (1996).

- [2] A. Lemaître, "Rearrangements and dilatancy for sheared dense materials", *Physical Review Letters*, vol. 89, no. 19, pp. 195503:1-4, (2002).
- [3] S. Leporatti, D. Vergara, A. Zacheo, V. Vergaro, G. Maruccio, R. Cingolani and R. Rinaldi, "Cytomechanical and topological investigation of MCF-7 cells by scanning force microscopy", *Nanotechnology*, vol. 20, no. 5, pp. 055103: 1-6, (2009).
- [4] M. Taheri, "Application of atomic force microscopy in critical force and critical time extraction of 2D manipulation for gastric cancer tissue with different friction models", *Nanoscale*, vol. 9, no. 1, pp. 136-145, (2022).
- [5] M. Taheri, "Investigation of the effect of different friction models on experimental extraction of 3D nanomanipulation force and critical time of colon cancer tissue", *Amirkabir Journal of Mechanical Engineering*, vol. 54, no. 4, pp.4, (2022).
- [6] M.H. Korayem, H.B. Hezaveh and M. Taheri, "Experimental Determination of HT29 Cancerous Cell Surface Roughness by Atomic Force Microscopy to be Applied in Nanomanipulation", *Applied and Computational Sciences in Mechanics*, vol. 28, no. 1, pp. 111-122, (2017).
- [7] Y. Bu, L. Li, C. Yang, R. Li, and J. Wang, "Measuring viscoelastic properties of living cells", *Acta Mechanica Sinica*, vol. 32, no. 5, pp. 599-610, (2019).
- [8] C. Hou, D. Sun and L. Dong, "Nanomanipulation in Biomedical Applications", *Current Robotics Reports*, vol. 2, no. 2, pp. 133-145, (2021).
- [9] Z. Lu, Z. Wang, D. Li, W. Zhu, R. Wang, K. Qu and J. Yan, "Effect of astragalus polysaccharides on cancer cells studied by AFM", *2021 IEEE International Conference on Manipulation, Manufacturing and Measurement on the Nanoscale, (3M-NANO), IEEE*, pp. 51-54, (2021).
- [10] M. Taheri and S.H. Bathae, "Determination of the young modulus of gastric cancer tissue experimentally using atomic force microscopy", *Modares Mechanical Engineering*, vol. 20, no. 12, pp. 2709-2720, (2020).
- [11] M. Taheri and M. Mirzalu, "Experimental Extraction of Young's Modulus of MCF-7 Breast Cancer Cell Using Spherical Contact Models", *Amirkabir Journal of Mechanical Engineering*, vol. 53, no.12, pp. 5769-5784, (2022).
- [12] C. Hao, S. Wang, S. Yuan, B. Wu, P. Yu, and J. Shi, "Extraction algorithm for longitudinal and transverse mechanical information of AFM", *Nanotechnology and Precision Engineering*, vol. 5, no. 2, pp. 023004, (2022).
- [13] M.H. Korayem, H. Khaksar, and H. Sharahi, "Modeling and simulation of contact parameters of elliptical and cubic nanoparticles to be used in nanomanipulation based on atomic force microscope", *Ultramicroscopy*, vol. 206, pp. 112808: 1-12, (2019).
- [14] A. D'orlando, J.Y. Mevellec, G. Louarn and B. Humbert, "Atomic force microscopy nanomanipulation by confocal Raman multiwavelength spectroscopy: Application at the monitoring of resonance profile excitation changes of manipulated carbon nanotube", *The Journal of Physical Chemistry C*, vol. 124, no. 4, pp. 2705-2711, (2020).
- [15] M. Makulavicius, O. Balitskyi, R. Urbonas, A. Dzedzickis, V. Bučinskas, A. Petronis, M. Kovalenko and I. Morkvenaite-Vilkonciene, "Recent Advances in Mechanical Micro-and Nanomanipulation", *Conference on Automation, Springer*, pp. 248-256, (2020).

- [16] T. Zhang, H. Yu, P. Li, X. Wang, F. Wang, J. Shi, Z. Liu, P. Yu, W. Yang and Y. Wang, "Microsphere-based super-resolution imaging for visualized Nanomanipulation", *ACS Applied Materials & Interfaces*, vol. 12, no. 42, pp. 48093-48100, (2020).
- [17] H. Khaksar, "Finding the optimal contact function and path in nanomanipulation process-based on AFM Nanorobot", *2019 7th International Conference on Robotics and Mechatronics (ICRoM)*, IEEE, pp. 588-592, (2019).
- [18] M. Taheri, "Investigation and sensitivity analysis of dimensional parameters and velocity in the 3D nanomanipulation dynamics of carbon nanotubes using statistical Sobol method", *Modares Mechanical Engineering*, vol. 19, no. 1, pp. 125-135, (2019).
- [19] M. Taheri, P. Karimi, M. Mstali, and M. Nazemizadeh, "Calculating the Young's modulus of head and neck cancer cells during the nanomanipulation process using atomic force microscope", *The Iranian Journal of Mechanical Engineering*, vol. 31, no. 4, pp. 22-31, (2022).
- [20] M. Khalili, M. Taheri, S.H. Bathaee and F. Shakeri, "Study of DNA nanoparticle manipulation using atomic force microscopy based on finite element method using theories of contact mechanics"; *Mechanic of Advanced and Smart Materials*, vol. 1, no. 2, pp. 155-174, (2022).
- [21] F. Fereiduni, M. Taheri and M. Modabberifar, "Investigation of the effect of different parameters on force in the second phase of two-dimensional Nanomanipulation", *Iranian Journal of Manufacturing Engineering*, vol. 8, no. 2, pp. 23-31, (2021).
- [22] A. Moshirpanahi, Sh. Etemadi Haghighi, and A. Imam, "Dynamic modeling of a cylindrical nanoparticle manipulation by AFM", *Engineering Science and Technology*, vol. 24, no. 3, pp. 611-619, (2021).
- [23] M. Modabberifar, Y. Hojjat, A. Abdullah and M. Dadkhah, "Analysis of the Dynamic Characteristics of a Three Phase Panel Type Electrostatic Actuator Using PEM System Identification", *Sensors & Actuators A: Physical*, vol. 151, no. 2, pp. 173-178, (2009).
- [24] M.H. Korayem, H.B. Hezaveh, and M. Taheri, "Dynamic modeling and simulation of rough cylindrical micro/nanoparticle manipulation with atomic force microscopy", *Microscopy and Microanalysis*, vol. 20, no. 6, pp. 1692-1707, (2014).
- [25] M.H. Korayem, M. Taheri and A.H. Korayem, "Manipulation with atomic force microscopy: DNA and yeast micro/nanoparticles in biological environments", *Proceedings of the Institution of Mechanical Engineers, Part K: Journal of Multi-body Dynamics*, vol. 228, no. 4, pp. 414-425, (2014).
- [26] M.H. Korayem, H. Khaksar, R.N. Hefz Abad and M. Taheri, "Simulation of soft bacteria contact to be applied in nanomanipulation", *Modares Mechanical Engineering*, vol. 14, no. 14, pp. 227-234, (2015).

